Влияние электрон-дефицитного замещения на спиновую динамику в FeGa₃

 $A.\,B.\,$ Ткачев $^{+1}$), $C.\,B.\,$ Журенко $^{+}$, $M.\,P.\,$ Бикмухаметова * , $M.\,C.\,$ Лиханов * , $A.\,B.\,$ Шевельков * , $A.\,A.\,$ Гиппиу c^{+*}

+ФИАН им. П. Н. Лебедева РАН, 119991 Москва, Россия

*Московский государственный университет имени М.В.Ломоносова, 119991 Москва, Россия

Поступила в редакцию 11 сентября 2024 г. После переработки 25 сентября 2024 г. Принята к публикации 3 октября 2024 г.

На примере изоэлектронных малоизученных соединений Fe_{0.92}Re_{0.08}Ga₃ и Fe_{0.92}Mn_{0.08}Ga₃ мы исследовали электрон-дефицитное замещение в перспективном термоэлектрике FeGa₃ методом ядерного квадрупольного резонанса. Легирование соединений данного структурного типа помогает изучать зависимость термоэлектрических характеристик от электронной структуры и в конечном счете позволяет повысить термоэлектрическую эффективность, столь важную для практических применений. В обоих соединениях наблюдаются явные признаки формирования дополнительной акцепторной зоны внутри основной энергетической щели, определяемой замещающими атомами рения и марганца. При этом как спектры ядерного квадрупольного резонанса, так и ядерная спин-решеточная релаксация и ее температурная эволюция существенно различаются для исследуемых соединений. Мы связываем это с разной статистикой распределения замещающих атомов (преимущественное формирование гомогантелей в рений-замещенном соединении и гетерогантелей – в марганец-замещенном), обусловленной их внешними электронными оболочками.

 $\label{eq:doi:doi:10.31857/S0370274X24110163} \text{ EDN: DJZBGU}$

Введение. Интерметаллические соединения структурного типа IrIn₃, несмотря на свою малочисленность, являются прекрасным примером структурного семейства, представляющего безусловный фундаментальный интерес, а также демонстрирующего потенциально высокие термоэлектрические свойства [1–3]. Кристаллическая структура данного семейства довольно простая (рис. 1). Тетрагональное кристаллическое строение может быть представлено в виде 3D каркаса, образованного атомами р-элемента, которые формируют пустоты. В этих пустотах находятся гантели из переходных металлов. Расстояние металл-металл в таких гантелях довольно короткое, хотя и немного больше длины связи металл-металл в чистых d-металлах. При этом термоэлектрические свойства интерметаллидов типа IrIn₃ обычно связывают с узкими зонами с острыми пиками плотности состояний вблизи уровня Ферми, образованными специфической р-d-гибридизацией [4, 5]. В связи с этим большое значение приобретает описание электронной структуры представителей данного класса соединений и ее зависимость от различных типов замещения.

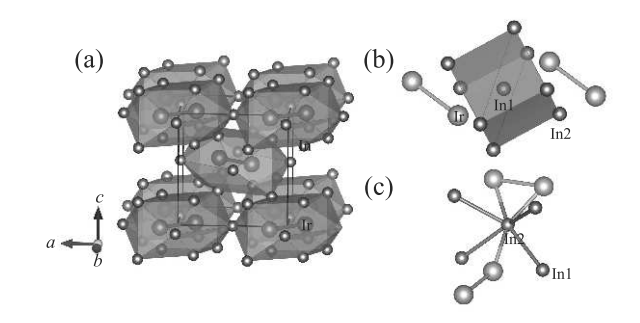


Рис. 1. (Цветной онлайн) Кристаллическая структура $IrIn_3$: (a) — полиэдрическое представление; (b) — локальное окружение позиции In1; (c) — локальное окружение позиции In2

Твердые растворы $Fe_{1-x}M_xGa_3$ (M=Mn и Re) содержат одинаковое число электронов, но их отличие заключается в существенном различии размеров замещающих атомов и свойств их d-орбиталей – 3d-металла марганца и 5d-металла рения. В данной работе мы исследуем ранее не изученную локальную электронную структуру двух представителей этих семейств $Fe_{0.92}Re_{0.08}Ga_3$ и $Fe_{0.92}Mn_{0.08}Ga_3$ с помощью метода ядерного квадрупольного резонанса (3KP) на ядрах галлия. Полученные экспериментальные данные позволяют судить о наличии

¹⁾e-mail: tkachevav@lebedev.ru

дополнительной акцепторной зоны внутри основной энергетической щели и о распределении замещающих атомов, влияющем также и на макроскопические свойства соединений.

Электронная структура соединений IrIn₃. Электронное строение семейства IrIn₃ прекрасно описывается правилом 18-n [3, 6], где n=1 соответствует одной связи между атомами переходного металла. Действительно, все соединения структурного семейства IrIn₃ обычно делят на две группы – 17электронные полупроводники (FeGa₃, RuGa₃, RuIn₃, OsGa₃, ReGa₂Ge) и 18-электронные металлы (CoGa₃, CoIn₃, RhGa₃, RhIn₃, IrGa₃, IrIn₃) [1]; однако есть пример 16-электронного соединения ReGa₃, которое может быть получено только путем синтеза при высоком давлении [7]. Полупроводниковые представители семейства стали основой для изучения термоэлектрических свойств чистых соединений и твердых растворов на их основе. Соединение FeGa₃ особенно широко изучено, проведенные замещения в позициях железа и галлия позволили существенно улучшить термоэлектрические характеристики исходной матрицы, тем не менее максимальное значение безразмерной термоэлектрической добротности ZT варьируется в диапазоне 0.1–0.2 [1]. Наилучшие значения ZT для соединений этого структурного типа получены для твердого раствора $RuIn_{3-y}Zn_y$, где было достигнуто ZT = 0.8 при T = 620 K [8].

Однако есть примеры нарушения правила 18 - nпредставителями семейства IrIn₃. Действительно, ожидается, что при замене железа или галлия в FeGa₃ на элементы с большим или меньшим числом валентных электронов произойдет немедленный переход в металлическое состояние. Фактически это было верно только при n-легировании в позиции галлия, например, при замене на германий или олово [9, 10]. Во всех остальных случаях теоретические предсказания оказались несостоятельными. Так, при замене железа на кобальт или никель происходит концентрационный переход полупроводник-металл: при малых степенях замещения сохраняется полупроводниковый характер проводимости, и лишь при относительно высоких уровнях замещения реализуется металлическое состояние [11–13]. Например, для твердого раствора $Fe_{1-x}Co_xGa_3$ граница перехода лежит в диапазоне 0.025 < x < 0.075 [14]. Гораздо более интересная ситуация наблюдается в случае замещений с уменьшением числа валентных электронов. Так, при замене железа на марганец или рений перехода в металлическую фазу вовсе не произошло: даже при максимально возможных степенях замещения (10-12 мол. %) соединения демонстрируют полу-

проводниковые свойства [15, 16]. Полупроводниковое состояние также сохраняется и при замене галлия на цинк в FeGa₃ [15]. Очевидно, что при замещениях происходит тонкая настройка как локальной кристаллической, так и электронной структуры твердых растворов. Исследование $Fe_{1-x}Re_xGa_3$ методом спектроскопии ЯКР на ядрах галлия демонстрирует кластеризацию рения в гантели переходного металла, окруженной атомами галлия [16]. Более того, изучение даже незамещенного FeGa₃ указывает на сложную природу его локальной структуры и намекает на то, почему подход жесткой зоны не применим к этому семейству. Было показано, что образуются состояния в энергетической щели, которые могут быть вызваны наличием дефектов - оборванных связей или дополнительных атомов [17]. Последнее было экспериментально обнаружено путем тщательного изучения кристаллической структуры FeGa₃ [18].

Методика. Синтез проводили по стандартной двухстадийной ампульной методике, которую мы ранее успешно использовали при изучении твердого раствора $Fe_{1-x}Re_xGa_3$. Металлы Fe (порошок, Acros Organics, 99.9%), Re (порошок, Alfa Aesar, 99.99%), Mn (гранулы, Alfa Aesar, 99.95%) и Ga (гранулы, Sigma Aldrich, 99.999 %) были использованы в качестве исходных веществ. Обе стадии синтеза проводили при температуре 750°C с промежуточным перетиранием образцов и прессованием их в таблетки. Детальная методика синтеза подробно обсуждена в нашей предыдущей работе [16]. После второго отжига образцы номинального состава $Fe_{0.92}M_{0.08}Ga_3$ (M = Mn, Re) были тщательно перетерты, а их фазовая чистота была подтверждена рентгенофазовым и локальным рентгеноспектральным анализами.

Порошковый рентгенодифракционный анализ проводили на дифрактометре Huber G670 Guinier Camera (излучение $Cu K\alpha 1$, Ge монохроматор, $\lambda = 1.5406 \, \text{Å}$). Данные были собраны путем четырехкратного сканирования со временем экспозиции 2400 с при комнатной температуре. Элементный анализ проводили на образцах, спрессованных в цилиндрические таблетки с плоскопараллельными основаниями, используя сканирующий электронный микроскоп JSM JEOL 6490-LV, оснащенный энергодисперсионного рентгеновского анализа (EDX) INCA x-Sight. Ускоряющее напряжение составляло 30 кВ. Погрешность измерений для каждого элемента составляла около 0.5 ат. %. Количественный состав определялся по 10–15 точкам, а затем усреднялся.

Измерения ЯКР ^{69,71}Ga проводились стандартной техникой спинового эха Хана с радиочастотны-

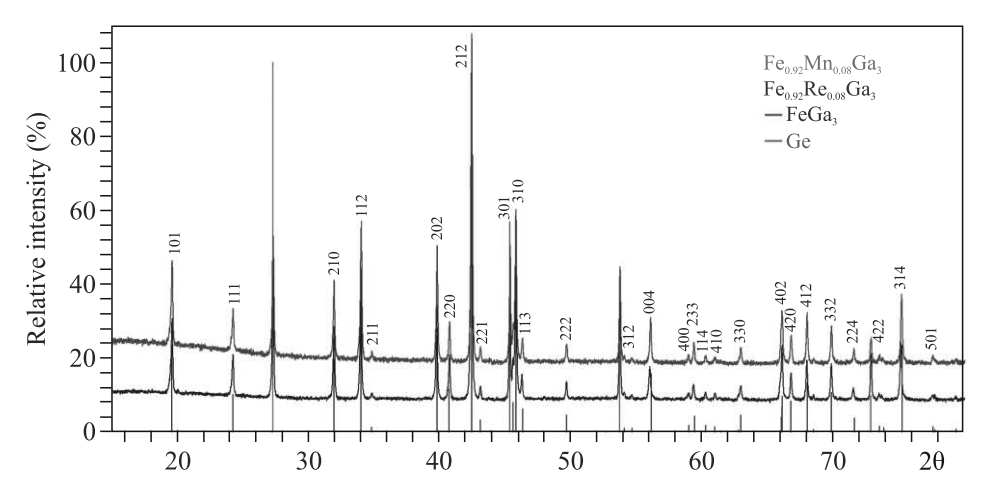


Рис. 2. (Цветной онлайн) Профили порошковых рентгеновских дифрактограмм образцов $Fe_{0.92}M_{0.08}Ga_3$ (M=Mn и Re). Вертикальные линии соответствуют теоретическим положениям рефлексов для $FeGa_3$ и Ge. Элементный германий использовали в качестве внутреннего стандарта при расчете параметров элементарной ячейки

ми импульсами $\pi/2$ и π на полностью цифровом фазо-когерентном импульсном спектрометре. Импульсы генерировались платой прямого цифрового синтеза (DDS), а цифровое квадратурное детектирование производилось непосредственно на несущей частоте. Спектры регистрировались как сумма Фурье-преобразований второй половины спинового эха [19–21]. Ядерная спин-решеточная релаксация измерялась методом восстановления намагниченности после насыщения (saturation recovery): насыщение ядерной спиновой системы достигалось последовательностью импульсов $\pi/2$, за которыми через время τ следовал обычный эксперимент спинового эха $\pi/2-\pi$, так что варьированием τ получалась кривая восстановления $I(\tau)$.

Результаты и обсуждение.

Характеризация. На рисунке 2 показаны рентгеновские дифрактограммы для двух образцов, $Fe_{0.92}M_{0.08}Ga_3$ (M = Mn, Re), подтверждающие, что оба продукта являются однофазными. Экспериментальные рефлексы немного смещены относительно теоретических положений для чистого FeGa₃, что указывает на замену железа металлами 7 группы (Mn и Re), приводящее к увеличению объема элементарной ячейки. Расчеты параметров элементарной ячейки привели к следующим значениям: $a = 6.2655(4) \,\text{Å}, c = 6.5734(8) \,\text{Å}$ для $Fe_{0.92}Mn_{0.08}Ga_3$ и a = 6.2766(5) Å, c = 6.5816(10) Å для $\mathrm{Fe_{0.92}Re_{0.08}Ga_{3}}$. Полученные значения хорошо согласуются с параметрами элементарной ячейки для указанных твердых растворов, опубликованными в литературе [15, 16].

Экспериментально определенный состав идеально соответствует номинальному соотноше-

нию металлов: Fe:Mn:Ga = 23.1:1.9:75.0 ат. % (для Fe_{0.92}Mn_{0.08}Ga₃) и Fe:Re:Ga = 23.0:2.2:74.8 (для Fe_{0.92}Re_{0.08}Ga₃). Кроме того, элементное картирование поверхности таблеток образцов показало однородное распределение всех элементов по образцу (рис. 3).

Спектроскопия ЯКР. Измерения спектров ЯКР галлия проводились на изотопе ⁶⁹Ga ввиду его большего естественного содержания (60.4% против 39.6% для 71 Ga) и большего квадрупольного момента (0.171 барн против 0.107 барн) [22]. Последнее обстоятельство позволяет проводить измерения на больших частотах, соответствующих более высокой спектральной чувствительности метода. Измерения спектра $Fe_{0.92}Re_{0.08}Ga_3$ при азотной температуре уже ранее проводилось нами в работе [16]. Положение основных линий Ga1 и Ga2 оказалось близко к таковому для исходного соединения FeGa₃ [23, 24]. Однако, помимо обычного для замещенных составов уширения линий ЯКР, также наблюдались дополнительные слабые линии на $41.1 \,\mathrm{M}\Gamma\mathrm{u} \,\mathrm{(Ga2')}$ и $47.6 \,\mathrm{M}\Gamma\mathrm{u}$ (Ga1'), которые были интерпретированы как сигнал от двух позиций галлия рядом с гомогантелями Re-Re [16]. Такой вывод был сделан на основе расчетов градиента электрического поля (ГЭП) нестабильного соединения ReGa₃, также косвенным подтверждением можно считать позднее наблюдавшиеся высокочастотные линии галлия в изоструктурном $ReGa_2Ge$ [25].

В качестве дополнительного подтверждения преимущественного формирования гомогантелей в $Fe_{0.92}Re_{0.08}Ga_3$ можно рассматривать соотношение интенсивностей линий. Грубая аппроксимация дублета Ga1+Ga2' двумя гауссовыми линиями

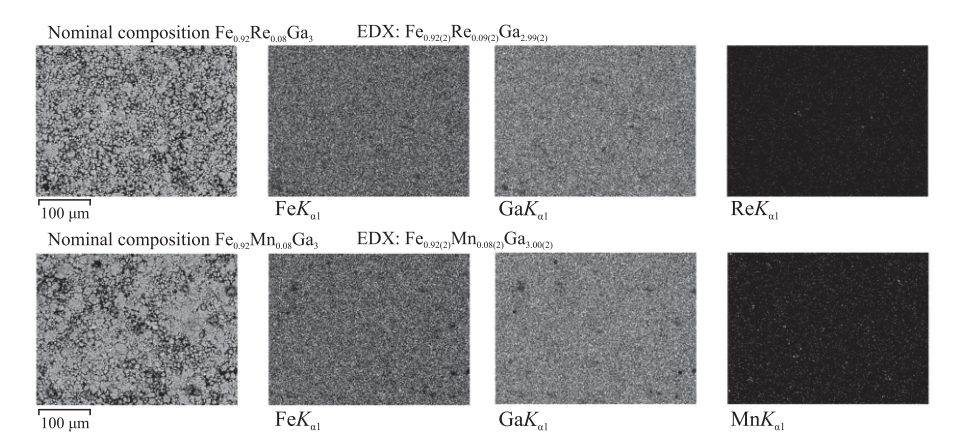


Рис. 3. Элементное картирование поверхности таблеток образцов с номинальным составом $Fe_{0.92}M_{0.08}Ga_3$ (M=Mn и Re)

(пунктирная красная линия на рис. 4) дает соотношение их интенсивностей 0.183(6), которое можно интерпретировать как отношение числа соответствующих атомов галлия. С учетом мультиплетности позиций галлия $N_{\text{Ga2}}:N_{\text{Ga1}}=2:1$ число атомов, дающих сигнал на Ga2', составляет 0.092(3) от Ga2, т.е. довольно близко к уровню замещения железа на рений. Это хорошо согласуется с предположением о связи линии Ga2' с галлием в позиции Ga2, имеющим одну гантель Re-Re в ближайшем окружении с равноудаленными от галлия атомами рения (см. рис. 1с). В случае формирования гетерогантелей таких субпозиций Ga2' было бы в два раза больше. При другом соотнесении линии Ga2' ее интенсивность также значительно отличалась бы: позиция Ga2, окруженная хотя бы одной гантелей с замещением (неважно какой), имела бы интенсивность выше в ≈ 2 раза (и более в случае гетерогантелей), а атомов галлия, координированных сразу двумя замещенными гантелями, на порядок меньше.

В данной работе впервые был измерен спектр ЯКР марганец-замещенного образца $Fe_{0.92}Mn_{0.08}Ga_3$, что позволяет сравнить спектры обоих замещенных составов между собой, а также с исходным FeGa₃ (рис. 4). Несмотря на равную степень электрон-дефицитного замещения, по числу как атомов, так и электронов на формульную единицу, основные линии ЯКР Ga1, 2 замещенных составов заметно отличаются. В частности, $Fe_{0.92}Mn_{0.08}Ga_3$ демонстрирует гораздо меньшее, в два-три раза, уширение линий, чем $Fe_{0.92}Re_{0.08}Ga_3$, а положения их максимумов ближе к исходному FeGa₃, чем к рений-замещенному образцу. При этом если различие в положениях линий еще можно списать на вышеупомянутую небольшую разницу параметров решетки и, следовательно, межатомных

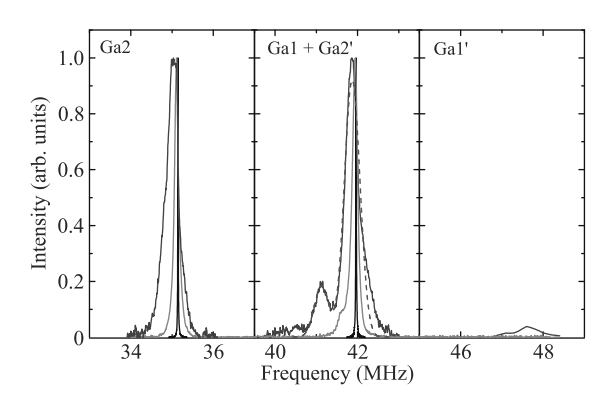


Рис. 4. (Цветной онлайн) Спектры ЯКР 69 Ga FeGa₃ [24] (черный), Fe_{0.92}Re_{0.08}Ga₃ [16] (зеленый), Fe_{0.92}Mn_{0.08}Ga₃ (настоящая работа, оранжевый), полученные при 77 K, а также аппроксимация линии Ga1 Fe_{0.92}Re_{0.08}Ga₃ суммой гауссов (пунктирная красная линия). Линии Ga1 и Ga2 (левая и центральная панели) нормированы на единицу, высокочастотная линия (правая панель) нормирована на интенсивность Ga1

расстояний и абсолютных значений решеточного вклада в ГЭП, то различие в ширине линии нельзя связать с кристаллографическими данными, полученными из рентгеновской дифракции. Поэтому можно говорить о более высокой степени однородности электронной структуры в марганец-замещенном соединении по сравнению с рений-замещенным, что приводит к меньшей дисперсии электронного вклада в ГЭП.

Еще более выраженное различие наблюдается для дополнительных особенностей спектра, отличающих замещенные соединения от чистого $FeGa_3$. В то время как спектр $Fe_{0.92}Re_{0.08}Ga_3$ содержит относительно интенсивный пик на $41.1\,\mathrm{MFu}$, линия $Ga1\ Fe_{0.92}Mn_{0.08}Ga_3$ демонстрирует лишь слабо

выраженный низкочастотный сателлит в районе 41.6 МГц. Таким образом, дополнительная линия в замещенном марганцем соединении и слабее, и ближе к линии Ga1, чем в случае замещения рением. Высокочастотная линия в окрестности 47.6 МГц и вовсе наблюдается только в Fe_{0.92}Re_{0.08}Ga₃, в то время как в Fe_{0.92}Mn_{0.08}Ga₃ отсутствует какойлибо сигнал во всем диапазоне частот от 43 до 48.4 МГц. Вместе с описанным выше различием в основных линиях, это указывает на существенно менее искаженное (относительно FeGa₃) локальное распределение электронной плотности в марганец-замещенном соединении по сравнению с рений-замещенным.

Это может быть связано напрямую с различным характером формирования пар М-М для рассматриваемых типов замещения. Статистическое распределение гомо- и гетерогантелей Fe-Fe, Fe-M и M-M невозможно определить методом рентгеновской дифракции, чувствительной к дальнему порядку, однако будет оказывать влияние на локальную электронную структуру и, соответственно, на сигнал ЯКР галлия в ближайших координационных сферах. В связи с этим можно предположить, что в отличие от рения, марганец преимущественно формирует гетерогантели Fe-Mn, которые содержат всего на один электрон меньше гомогантели Fe-Fe в исходной структуре FeGa3, и потому гораздо слабее искажают ГЭП на ближайших позициях галлия. Такое различие в распределении замещающих атомов может быть связано как с разницей их атомных радиусов (1.61 Å и 1.88 Å соответственно для Mn и Re [26]), так и с разной диффузностью 3*d*-орбиталей марганца и 5*d*-орбиталей рения: марганец, будучи более похожим по этим параметрам на железо, легче смешивается с ним в гетерогантели.

Ядерная спин-решеточная релаксация. С целью исследования спиновой динамики исследуемых соединений мы провели измерения скорости ядерной спин-решеточной релаксации на основных линиях ЯКР галлия Ga1,2 в $Fe_{0.92}Re_{0.08}Ga_3$ и Ga1 в Fe_{0.92}Mn_{0.08}Ga₃ в широком диапазоне температур 3-300 К. Все релаксационные кривые хорошо описывались стандартным выражением для растянутой экспоненты $I(\tau) = I_0 + (I_{\text{max}} - I_0) * (1 - \exp[-(\tau/T_1)^{\beta}]),$ где I_0 – интенсивность остаточного эха, наблюдаемого из-за неполного насыщения, $I_{\rm max}$ – максимальная интенсивность эха после полного восстановления продольной ядерной намагниченности, $\beta < 1$ – коэффициент растяжения. Умеренное растяжение релаксационной кривой часто встречается в системах с внутренним беспорядком, в данном случае вызванным замещением, и согласуется с заметным уширением спектральных линий (рис. 4).

На рисунке 5 представлены полученные значения скоростей ядерной спин-решеточной релаксации $1/T_1$ как функция температуры. Для всех трех температурных зависимостей характерен выраженный максимум в районе 70–100 К. Такой вид кривой $1/T_1(T)$ качественно напоминает зависимость для исходного FeGa₃, где широкий максимум скорости релаксации в районе 5-7 К связывался с внутрищелевыми электронными состояниями [17]. Вероятно, в исследуемых составах максимум скорости релаксации также связан с зонами внутри основной полупроводниковой щели. В отличие от таких незамешенных соединений, как FeGa₃ [17] и RuGa₃ [24]. в данном случае мы можем точно говорить именно об акцепторных уровнях, так как оба типа замещения электрон-дефицитные, а их положение и емкость детерминируется уровнем замещения на рений или марганец. Существенный рост, примерно на порядок, характерных температур максимума релаксации по сравнению с FeGa₃ может быть связан с увеличением изоляции внутрищелевого уровня и с увеличением характерной температуры его насыщения. Он также согласуется с кратным повышением верхней границы режима прыжкового транспорта с переменной длинной прыжка при допировании марганцем по данным измерения сопротивления [15]. Стоит отметить, что такой путь создания внутрищелевых состояний приводит к существенно большей (на ~ 2 порядка) абсолютной высоте пика скорости релаксации, так что в замещенном марганцем соединении в максимуме она даже достигает значений Fe_{0.5}Co_{0.5}Ga₃ (рис. 5), демонстрирующем самую высокую скорость релаксации в ряду $Fe_{1-x}Co_xGa_3$ за счет магнитных флуктуаций и электронов проводимости [17]. Релаксация на различных позициях Ga1 и Ga2 не носит качественных различий, хотя в случае Ga2 максимум более выраженный.

При аппроксимации кривых восстановления мы не фиксировали коэффициент растяжения β , так что нам удалось отследить температурные зависимости этого показателя для разных линий для образцов Fe_{0.92}Re_{0.08}Ga₃ и Fe_{0.92}Mn_{0.08}Ga₃ (рис. 6). Все три зависимости демонстрируют рост коэффициента растяжения выше 200 K, указывающий на повышение степени однородности системы с ростом температуры. Вероятно, этот процесс связан с ростом тепловых осцилляций атомов и усреднением локальных скоростей релаксации. Более нетривиальная картина наблюдается при низких температурах: в Fe_{0.92}Mn_{0.08}Ga₃ β остается в пределах 0.5–0.6 вплоть

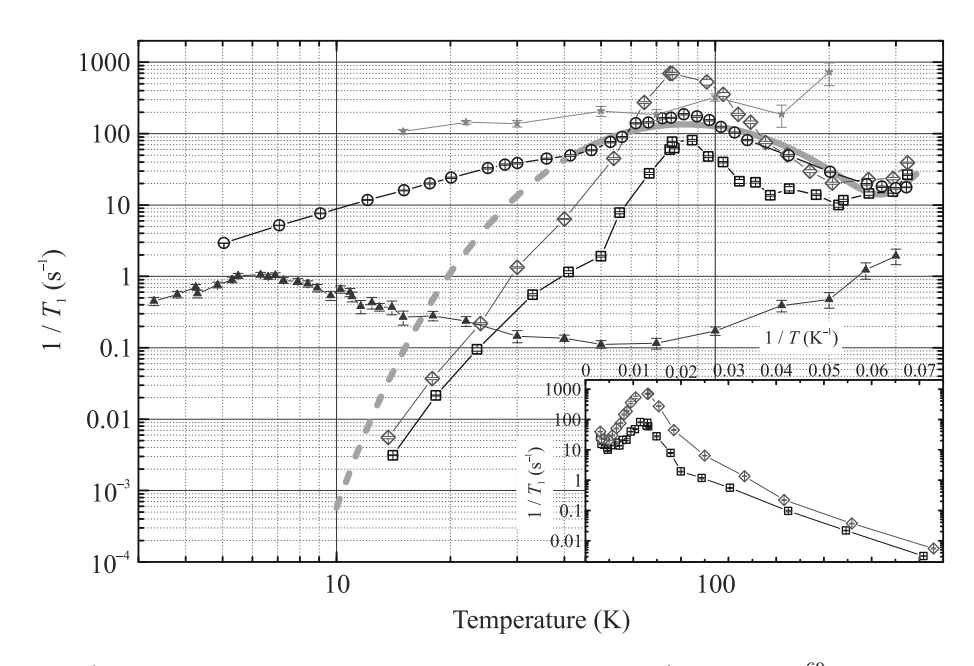


Рис. 5. (Цветной онлайн) Скорость ядерной спин-решеточной релаксации $1/T_1$ на ядрах 69 Ga в зависимости от температуры в $\mathrm{Fe_{0.92}Re_{0.08}Ga_3}$ на позициях $\mathrm{Ga1}$ (черные незакрашенные квадраты) и $\mathrm{Ga2}$ (красные незакрашенные ромбы) и в $\mathrm{Fe_{0.92}Mn_{0.08}Ga_3}$ на $\mathrm{Ga1}$ (синие незакрашенные круги) вместе с симуляцией согласно выражению (1) (темно-желтая широкая кривая); также для сравнения приведены ранее опубликованные значения для $\mathrm{FeGa_3}$ (пурпурные закрашенные треугольники) и $\mathrm{Fe_{0.5}Co_{0.5}Ga_3}$ (оранжевые закрашенные звезды) [17]. На вставке: зависимость скоростей релаксации в $\mathrm{Fe_{0.92}Re_{0.08}Ga_3}$ от обратной температуры 1/T

до $5\,\mathrm{K}$, в то время как обе линии $\mathrm{Fe_{0.92}Re_{0.08}Ga_3}$ демонстрируют уверенный рост коэффициента растяжения ниже $30\,\mathrm{K}$. С одной стороны, сам по себе низкотемпературный рост коэффициента растяжения релаксационной кривой является более редким явлением, чем высокотемпературный, с другой – интересны причины различия поведения столь близких, на первый взгляд, составов.

Такой сложный характер температурных зависимостей скорости релаксации и коэффициента растяжения мотивировал нас провести исследование релаксационных процессов также и на втором изотопе галлия ⁷¹Ga. Существенно различающиеся в разные стороны квадрупольные моменты и гиромагнитные отношения двух изотопов галлия могут помочь оценить характер преимущественного вклада в релаксационные процессы в исследуемых соединениях. На рисунке 7 приведены температурные зависимости отношения скоростей релаксации на обоих изотопах $R = (1/^{69}T_1)/(1/^{71}T_1)$ для исследуемых линий. Налицо резкое различие между ренийи марганец-замещенными составами. В частности, в ${\rm Fe_{0.92}Mn_{0.08}Ga_3}$ отношение скоростей релаксации во всем диапазоне температур лежит в окрестности квадрата отношения гиромагнитных отношений $R_{\rm M}=(^{69}\gamma/^{71}\gamma)^2=0.620,$ что указывает на преобладающее значение магнитных спин-флуктуационных

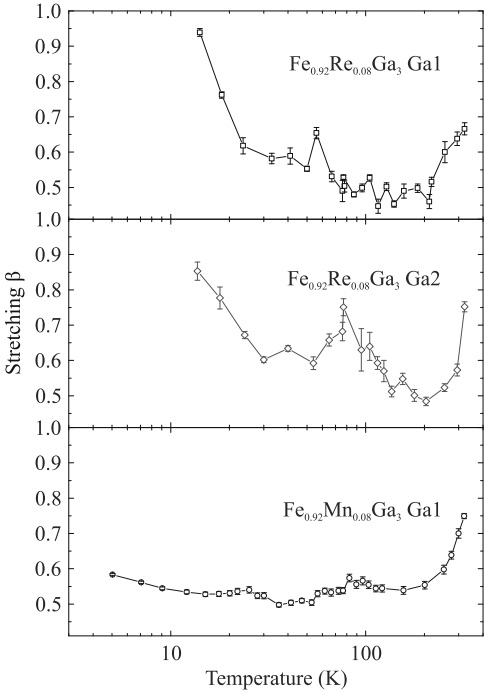


Рис. 6. (Цветной онлайн) Температурные зависимости коэффициента растяжения β для в Fe_{0.92}Re_{0.08}Ga₃ на позициях Ga1 (верхняя панель) и Ga2 (средняя панель) и в Fe_{0.92}Mn_{0.08}Ga₃ на Ga1 (нижняя панель)

процессов релаксации. Обе линии $Fe_{0.92}Re_{0.08}Ga_3$, хотя и демонстрируют также преимущественно спин-

флуктуационный характер релаксации при приближении к комнатной температуре и ниже $\sim 60\,\mathrm{K}$, испытывают существенное отклонение R от R_M в области промежуточных температур, что указывает на рост вклада флуктуаций электронной плотности в механизмы релаксации в окрестности максимума скорости релаксации (рис. 5). При этом максимум R для Ga2 более интенсивный и даже практически достигает в районе $100\,\mathrm{K}$ значения $R_\mathrm{E} = (^{69}Q/^{71}Q)^2 = 2.554$, соответствующего чисто квадрупольным механизмам релаксации.

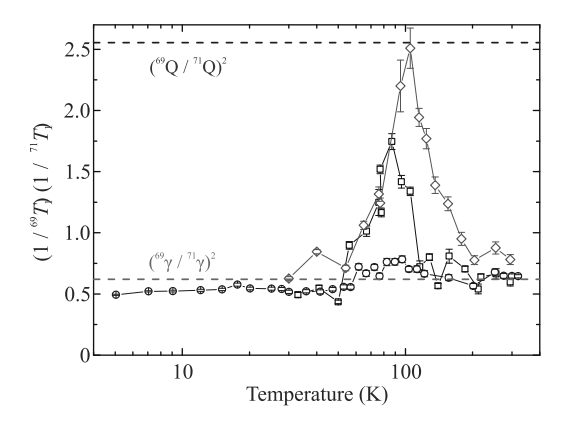


Рис. 7. (Цветной онлайн) Температурные зависимости отношения скоростей релаксации на изотопах галлия для в $\rm Fe_{0.92}Re_{0.08}Ga_3$ на позициях Ga1 (черные незакрашенные квадраты) и Ga2 (красные незакрашенные ромбы) и в $\rm Fe_{0.92}Mn_{0.08}Ga_3$ на Ga1 (синие незакрашенные круги)

С целью проверки предположения о преобладающей роли внутрищелевых состояний в ядерной спинрешеточной релаксации мы сравнили зависимость $1/T_1(T)$ для Ga1 в $\mathrm{Fe_{0.92}Mn_{0.08}Ga_3}$ с теоретической (широкая темно-желтая кривая на рис. 5), построенной в модели прямоугольных зон, ранее успешно примененной к $\mathrm{FeSb_2}$ [27] и $\mathrm{FeGa_3}$ [17]. В этой модели мы учитываем собственно активацию носителей заряда во внутрищелевую акцепторную зону $(1/T_1)_{\mathrm{in-gap}}$ и обычный процесс активации через основную щель $(1/T_1)_{\mathrm{main-gap}}$, ответственный за высокотемпературное поведение:

$$\frac{1}{T_1} = \left(\frac{1}{T_1}\right)_{\text{in-gap}} + \left(\frac{1}{T_1}\right)_{\text{main-gap}} =$$

$$=T\{\rho_i^2[f(\delta)-f(\delta+\omega)]+\rho_m^2[f(\Delta)-f(\Delta+W)]\},\ (1)$$

где $f(\varepsilon) = [\exp(\varepsilon/T) + 1]^{-1}$ — функция распределения Ферми, W — ширина основной зоны, 2δ — основная щель, ω — ширина акцепторного уровня, 2δ — расстояние между ним и валентной зоной (рис. 8).

Плотность состояний основных зон ρ_m полагаем температурно-независимой, в то время как для акцепторного уровня предполагается насыщение по закону $\rho_i = \rho_0 \exp(-T/T_0)$ с характерной температурой насыщения T_0 . На рисунке 8 отмечены три основных температурных режима:

LT – низкие температуры, вероятность любых активационных процессов стремится к нулю;

IT — промежуточные температуры, происходит заброс носителей заряда на акцепторный уровень, обусловленный электрон-дефицитным замещением, при этом уровень насыщается по мере роста температуры;

HT — высокие температуры, акцепторный уровень насыщен, и переброс носителей происходит только через основную щель 2Δ .

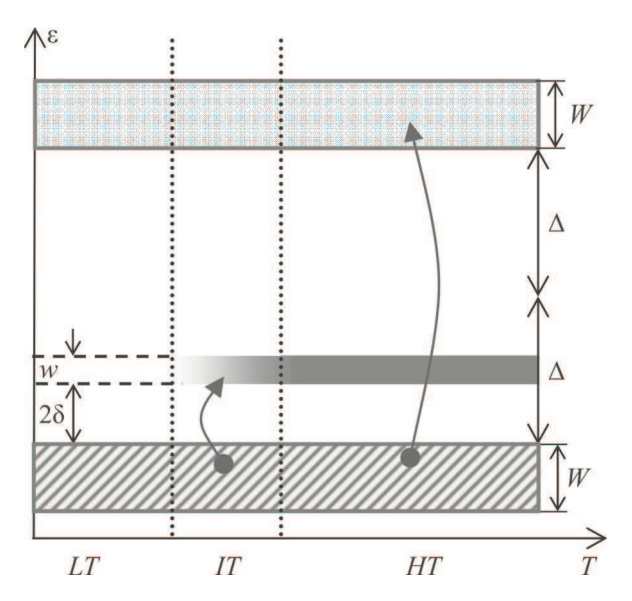


Рис. 8. (Цветной онлайн) Схема энергетических зон ${\rm Fe}_{1-x}{\rm M}_x{\rm Ga}_3$ (M = Mn и Re), см. текст

Описанная модель дает резкое падение скорости релаксации с понижением температуры ниже $\sim 40~{\rm K}$ близко к активационному закону, что заметно расходится с наблюдаемой зависимостью $1/T_1(T)$ для ${\rm Fe_{0.92}Mn_{0.08}Ga_3}$. Вероятно, при самых низких температурах начинают преобладать иные механизмы релаксации (режим LT на рис. 8), поэтому мы симулировали данные начиная только с $\sim 40~{\rm K}$ (широкая темно-желтая кривая на рис. 5). Поскольку основная щель и зоны определяют поведение системы только при достаточно высоких температурах, то симуляция в исследованном диапазоне температур слабо чувствительна к их параметрам, поэтому мы зафиксировали щель на уровне $2\Delta = 2000~{\rm K}$, примерно соответствующем оценке из транспортных измерений

Таблица 1. Параметры внутрищелевых зон интерметаллидов со структурой FeGa₃, полученные из симуляции моделью прямоугольных зон

Параметр	FeGa ₃ [17]	$\mathrm{Fe_{0.92}Mn_{0.08}Ga_{3}}$
Расстояние между внутрищелевым уровнем и основной зоной 2δ	13 K	280 K
Характерная температура насыщения T_0	11.5 K	105 K

для близких уровней замещения на марганец [15]. Варьированием остальных параметров зонной структуры удалось описать экспериментальные данные с хорошей точностью (рис. 5). При этом наилучшее согласие достигается при значениях 2δ и T_0 заметно выше, примерно на порядок, таковых для исходного ${\rm FeGa_3}$ (табл. 1). Такое различие объясняется существенно более высокой температурой соответствующего максимума $1/T_1(T)$ в ${\rm Fe_{0.92}Mn_{0.08}Ga_3}$, поскольку расстояние между зонами 2δ определяет нарастание скорости релаксации с ростом температуры, а T_0 – напротив, спад с повышением температуры.

Низкотемпературное поведение скорости спинрешеточной релаксации в $Fe_{0.92}Mn_{0.08}Ga_3$, видимо, определяется слабым магнетизмом, привносимым марганцем. Измерения восприимчивости в [15] показали, что замещающие железо атомы марганца в системе $Fe_{1-x}Mn_xGa_3$ с низким x имеют магнитный момент, близкий к теоретическому для спинов $S=1/2,\ 1.73\mu_B$. Авторы этого исследования также наблюдали низкотемпературные магнитные корреляции, в том числе в близких к нашему составах. Такой магнетизм согласуется с предположением о преимущественном формировании гетерогантелей Fe-Mn, в которых неспаренный электрон марганца оказывается изолированным.

В противоположность марганцевому замещению, в Fe_{0.92}Re_{0.08}Ga₃ скорость спин-решеточной релаксации испытывает резкое падение ниже максимума. Качественно скорость падения $1/T_1(T)$ в этом диапазоне температур похожа на симуляцию релаксации за счет активационных процессов согласно (1) (рис. 5). Действительно, представив эту зависимость в полулогарифмических координатах $\log(1/T_1)$ vs 1/T (вставка рис. 5), мы видим для обеих позиций галлия практически линейные участки, соответствующие активационной зависимости. Наблюдаемая разница с Fe_{0.92}Mn_{0.08}Ga₃ может быть связана с вышеупомянутым преимущественным формированием гомогантелей Re-Re: если ионы рения также имеют спин S = 1/2, то, расположенные вместе, они формируют спиновый синглет S=0, не оказывающий уже такого заметного влияния на галлий.

Заключение. В данной работе мы синтезировали и исследовали два электрон-дефицитных соста-

ва на основе FeGa₃: с замещением железа на рений $(Fe_{0.92}Re_{0.08}Ga_3)$ и на марганец $(Fe_{0.92}Mn_{0.08}Ga_3)$. Оба соединения имеют равные степени замещения 8% и равное количество валентных электронов на формульную единицу – по 16.92. Несмотря на ожидаемое сходство, исследование локальной электронной структуры методом ЯКР выявило существенные различия как в статическом распределении электронной плотности, так и в ее динамических свойствах. Это связано, по-видимому, с различным характером распределения замещающих атомов: в то время как рений формирует преимущественно гомогантели Re-Re, марганец в основном встраивается в гетерогантели Fe-Mn. Тем не менее оба исследуемых соединения объединяет наличие довольно емкого акцепторного уровня внутри основной щели. В отличие от исходного FeGa₃, где внутрищелевые состояния были связаны с дефектами, в замещенных составах такой уровень строго обусловлен количеством и типом замещающих атомов. Таким образом, в представленном исследовании мы описали изменение электронной структуры в перспективной термоэлектрической системе на основе FeGa₃ под действием электрон-дефицитного замещения и показали, что это изменение также сильно зависит от типа замещающих атомов. Полученные результаты могут быть полезны для определения направления поиска и оптимизации термоэлектрических материалов на основе интерметаллидов, поскольку их эффективность тесно связана с электронной структурой. При этом некоторые неразрешенные вопросы относительно природы флуктуационных процессов (конкретные механизмы низкотемпературной релаксации, квадрупольный вклад в районе максимума и низкотемпературное снижение дисперсии релаксационных процессов в рений-замещенном соединении) в представленных электрон-дефицитных системах остаются открытыми и требуют дальнейшего изучения.

Финансирование работы. Эта работа была выполнена при поддержке Российского научного фонда, грант # 22-13-00006.

Конфликт интересов. Авторы данной работы заявляют, что у них нет конфликта интересов.

- M. S. Likhanov and A. V. Shevelkov, Russian Chemical Bulletin 69(12) 2231 (2020); doi: 10.1007/s11172-020-3047-5.
- 2. V. Yu. Verchenko and A. A. Tsirlin, Inorg. Chem. $\bf 61(7)$, 3274 (2022); doi: 10.1021/acs.inorgchem.1c03843.
- 3. A. Lim and D. C. Fredrickson, Inorg. Chem. **62**(27), 10833 (2023); doi: 10.1021/acs.inorgchem.3c01496.
- Y. Amagai, A. Yamamoto, C. Lee, H. Takazawa, T. Noguchi, H. Obara, T. Lida, and Y. Takanashi, MRS Online Proc. Libr. 2004 7931 793(1), 359 (2004); doi: 10.1557/PROC-793-S8.38.
- G. D. Mahan and J. O. Sofo, Proc. Natl. Acad. Sci. USA 93(15), 7436 (1996); doi: 10.1073/pnas.93.15.7436.
- V. J. Yannello and D. C. Fredrickson, Inorg. Chem. 54(23), 11385 (2015);
 doi: 10.1021/acs.inorgchem.5b02016.
- S. V. Popova and L. N. Fomicheva, Inorg. Mater. 18, 205 (1982).
- D. Kasinathan, M. Wagner, K. Koepernik, R. Cardoso-Gil, Y. Grin, and H. Rosner, Phys. Rev. B Condens. Matter Mater. Phys. 85(3), 035207 (2011); doi: 10.1103/PhysRevB.85.035207.
- K. Umeo, Y. Hadano, S. Narazu, T. Onimaru, M. A. Avila, and T. Takabatake, Phys. Rev. B – Condens. Matter Mater. Phys. 86(14), 144421 (2012); doi: 10.1103/PhysRevB.86.144421.
- 10. Y. Takagiwa, Y. Matsuura, and K. Kimura, J. Electron. Mater. ${\bf 43}(6),\,2206\,\,(2014);$ doi: $10.1007/{\rm s}11664-014-3008-6.$
- M. S. Likhanov, V. Yu. Verchenko, M. A. Bykov, A. A. Tsirlin, A. A. Gippius, D. Berthebaud, A. Maignan, and A. V. Shevelkov, J. Solid State Chem. 236, 166 (2016); doi: 10.1016/j.jssc.2015.08.028.
- M. S. Likhanov, V. Yu. Verchenko, D. I. Nasonova, A. A. Gippius, S. V. Zhyrenko, E. I. Demikhov, C. N. Kuo, C. S. Lue, B. L. Young, and A. V. Shevelkov, J. Alloys Compd. 745, 341 (2018); doi: 10.1016/j.jallcom.2018.02.216.
- E. M. Bittar, C. Capan, G. Seyfarth, P. G. Pagliuso, and Z. Fisk, J. Phys. Conf. Ser. 200(1), 012014 (2010); doi: 10.1088/1742-6596/200/1/012014.
- B. Ramachandran, K. Z. Syu, Y. K. Kuo, A. A. Gippius, A. V. Shevelkov, V. Yu. Verchenko, and C. S. Lue, J. Alloys Compd. 608, 229 (2014); doi: 10.1016/j.jallcom.2014.04.117.
- M.B. Gamza, J.M. Tomczak, C. Brown, A. Puri, G. Kotliar, and M.C. Aronson, Phys. Rev. B Condens. Matter Mater. Phys. 89(19), 195102 (2014); doi: 10.1103/PhysRevB.89.195102.

- M. S. Likhanov, V. O. Zhupanov, V. Yu. Verchenko, A. A. Gippius, S. V. Zhurenko, A. V. Tkachev, D. I. Fazlizhanova, D. Berthebaud, and A. V. Shevelkov, J. Alloys Compd. 804, 331 (2019); doi: 10.1016/j.jallcom.2019.07.033.
- A. A. Gippius, V. Yu. Verchenko, A. V. Tkachev, N. E. Gervits, C. S. Lue, A. A. Tsirlin, N. Büttgen, W. Krätschmer, M. Baenitz, M. Shatruk, and A. V. Shevelkov, Phys. Rev. B – Condens. Matter Mater. Phys. 89(10), 104426 (2014); doi: 10.1103/PhysRevB.89.104426.
- F. R. Wagner, R. Cardoso-Gil, B. Boucher, M. Wagner-Reetz, J. Sichelschmidt, P. Gille, M. Baenitz, and Y. Grin, Inorg. Chem. 57(20), 12908 (2018); doi: 10.1021/acs.inorgchem.8b02094.
- A. P. Bussandri and M. J. Zuriaga, J. Magn. Reson. 131(2), 224 (1998); doi: 10.1006/jmre.1998.1363.
- W. G. Clark, M. E. Hanson, F. Lefloch, and P. Ségransan, Rev. Sci. Instrum. 66(3), 2453 (1995); doi: 10.1063/1.1145643.
- Y. Y. Tong, J. Magn. Reson. Ser. A 119(1), 22 (1996); doi: 10.1006/jmra.1996.0047.
- 22. https://www.pascal-man.com/periodic-table/gallium.shtml (accessed Sep.09,2024).
- 23. V. Yu. Verchenko, M. S. Likhanov, M. A. Kirsanova, A. A. Gippiius, A. V. Tkachev, N. E. Gervits, A. V. Galeeva, N. Büttgen, W. Krätschmer, C. S. Lue, K. S. Okhotnikov, and A. V. Shevelkov, J. Solid State Chem. 194, 361 (2012); doi: 10.1016/J.JSSC.2012.05.041.
- A. A. Gippius, A. V. Tkachev, S. V. Zhurenko, A. V. Gunbin, E. I. Demikhov, C.-N. Kuo, C.-S. Lue, N.-Q. Nguyen, C.-W. Luo, V. N. Khrustalev, R. D. Svetogorov, M. S. Likhanov, and A. V. Shevelkov, J. Alloys Compd. 938, 168522 (2023); doi: 10.1016/j.jallcom.2022.168522.
- M. S. Likhanov, V. Yu. Verchenko, A. A. Gippius, S. V. Zhurenko, A. V. Tkachev, Z. Wei, E. V. Dikarev, A. N. Kuznetsov, and A. V. Shevelkov, Inorg. Chem. 59(17), 12748 (2020); doi: 10.1021/acs.inorgchem.0c01805.
- E. Clementi, D. L. Raimondi, and W. P. Reinhardt,
 J. Chem. Phys. 47(4), 1300 (1967);
 doi: 10.1063/1.1712084.
- 27. A. A. Gippius, K. S. Okhotnikov, M. Baenitz, and A. V. Shevelkov, Solid State Phenom. **152–153**, 287 (2009); doi: 10.4028/www.scientific.net/SSP.152-153.287.